

図 8.1-32 地形地表濃度コンター (風向南、風速 3.7m/s)

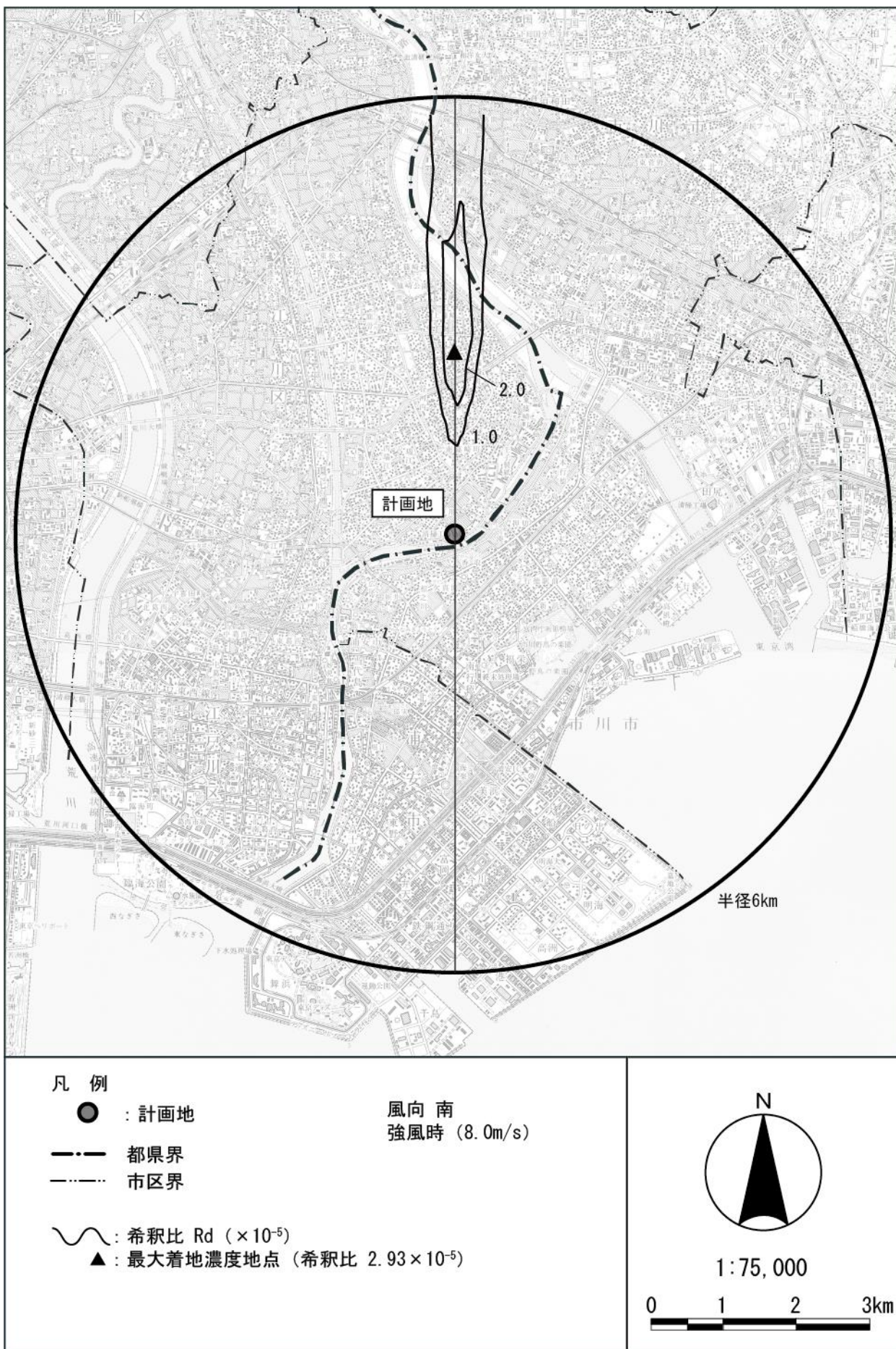


図 8.1-33 地形地表濃度コンター（風向南、風速 8.0m/s）

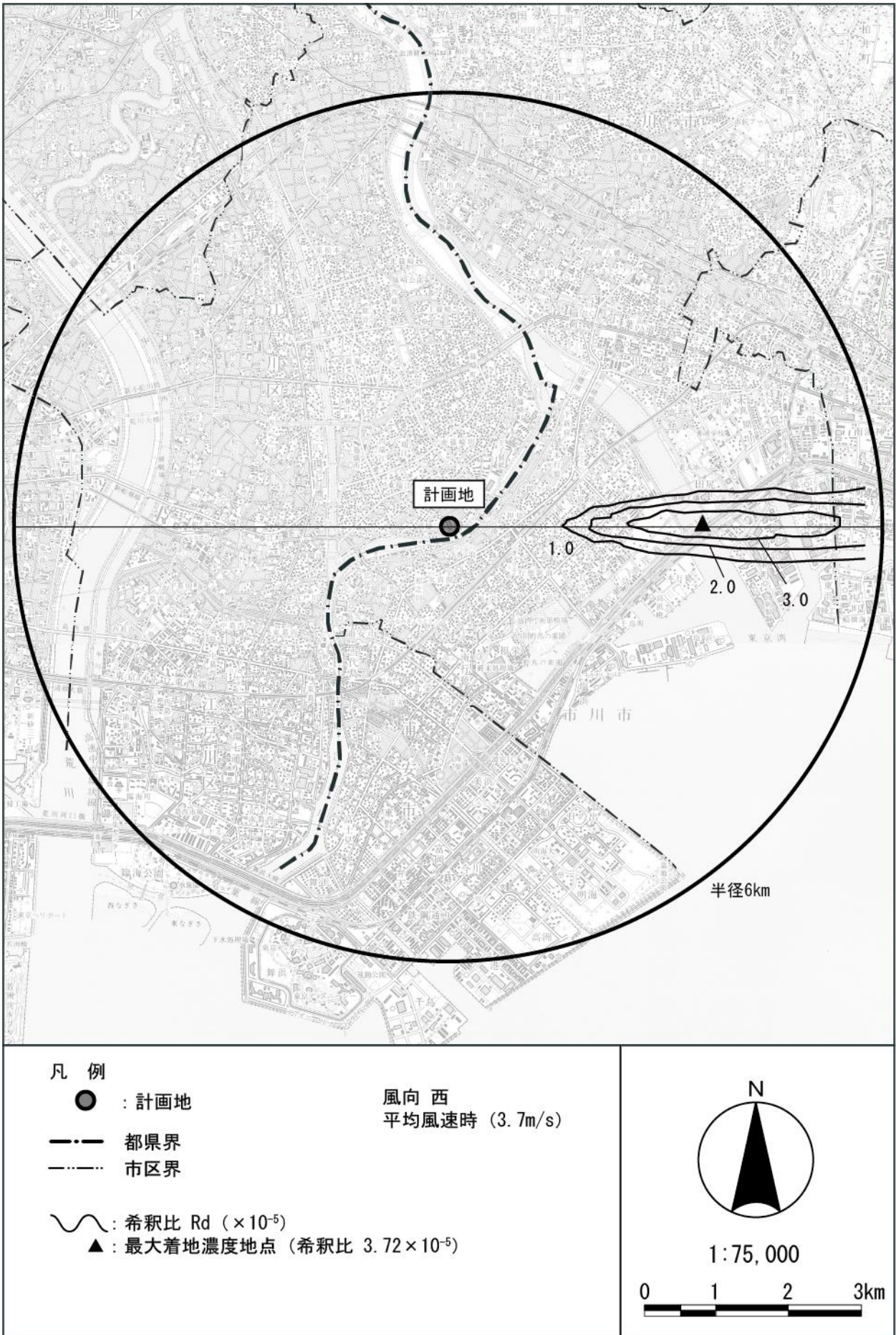


図 8.1-34 地形地表濃度コンター (風向西、風速 3.7m/s)

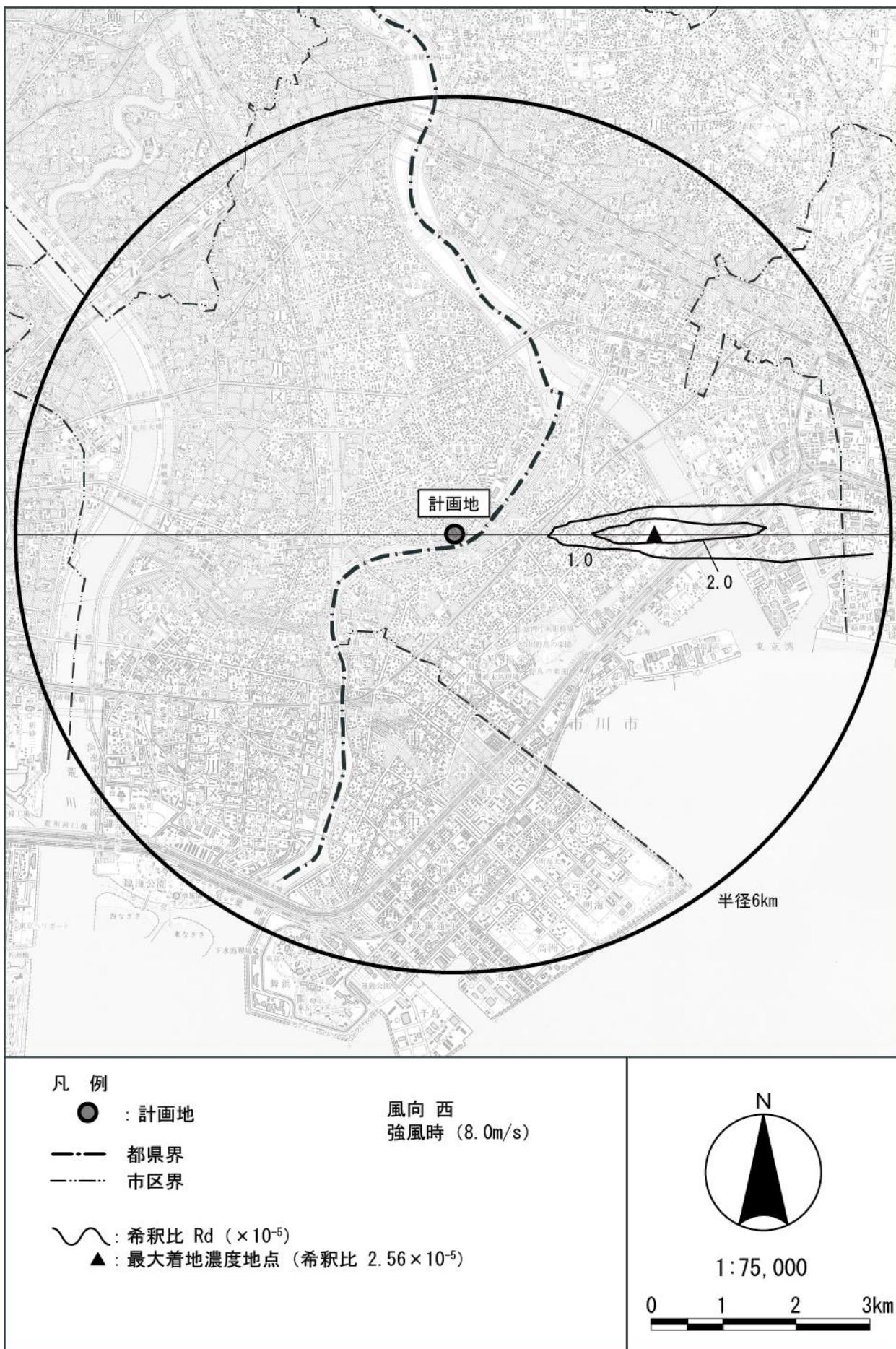


図 8.1-35 地形地表濃度コンター (風向西、風速 8.0m/s)

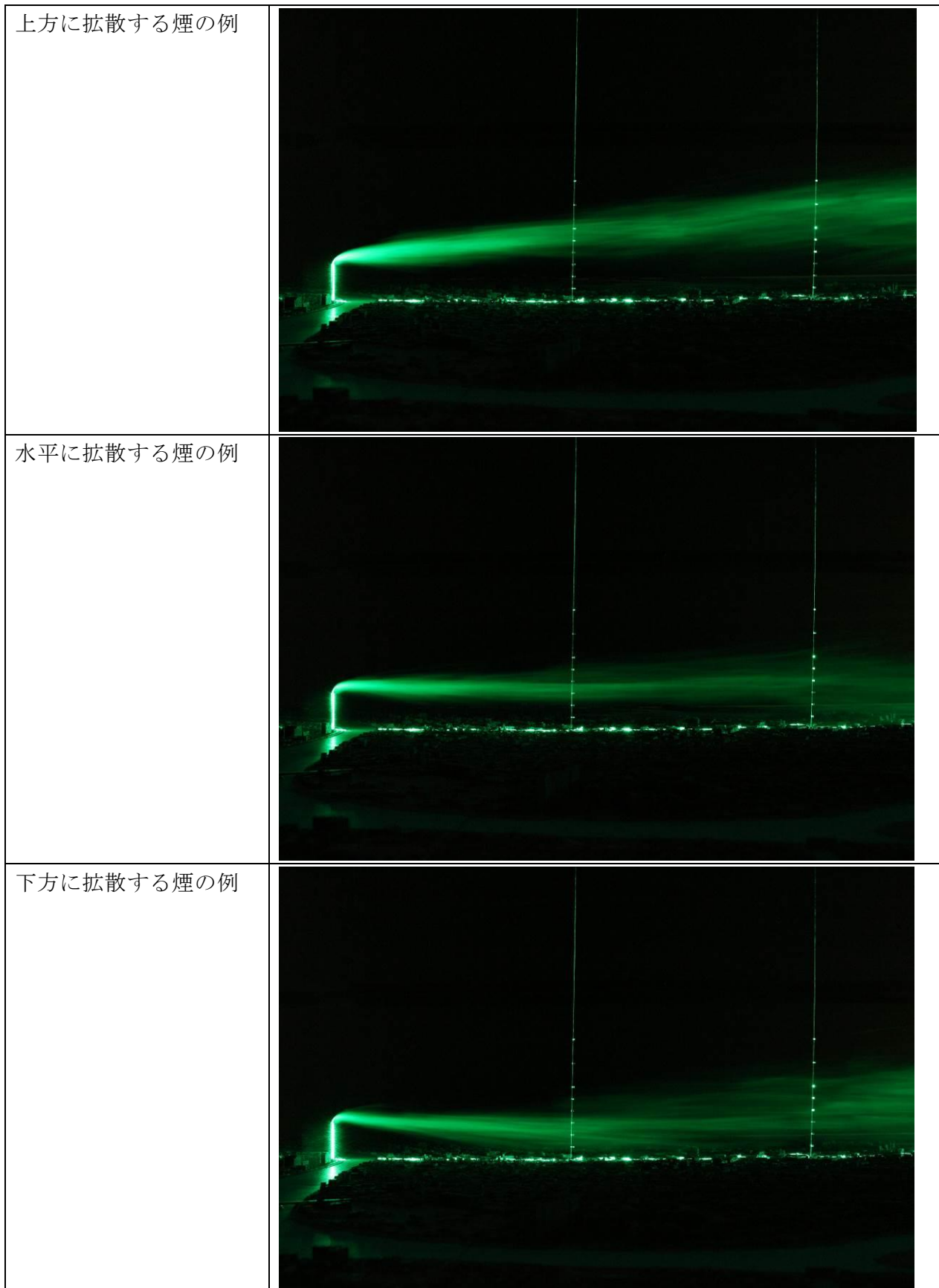


図 8.1-36(1) 煙流し実験結果（風向北、強風時 8.0m/s）

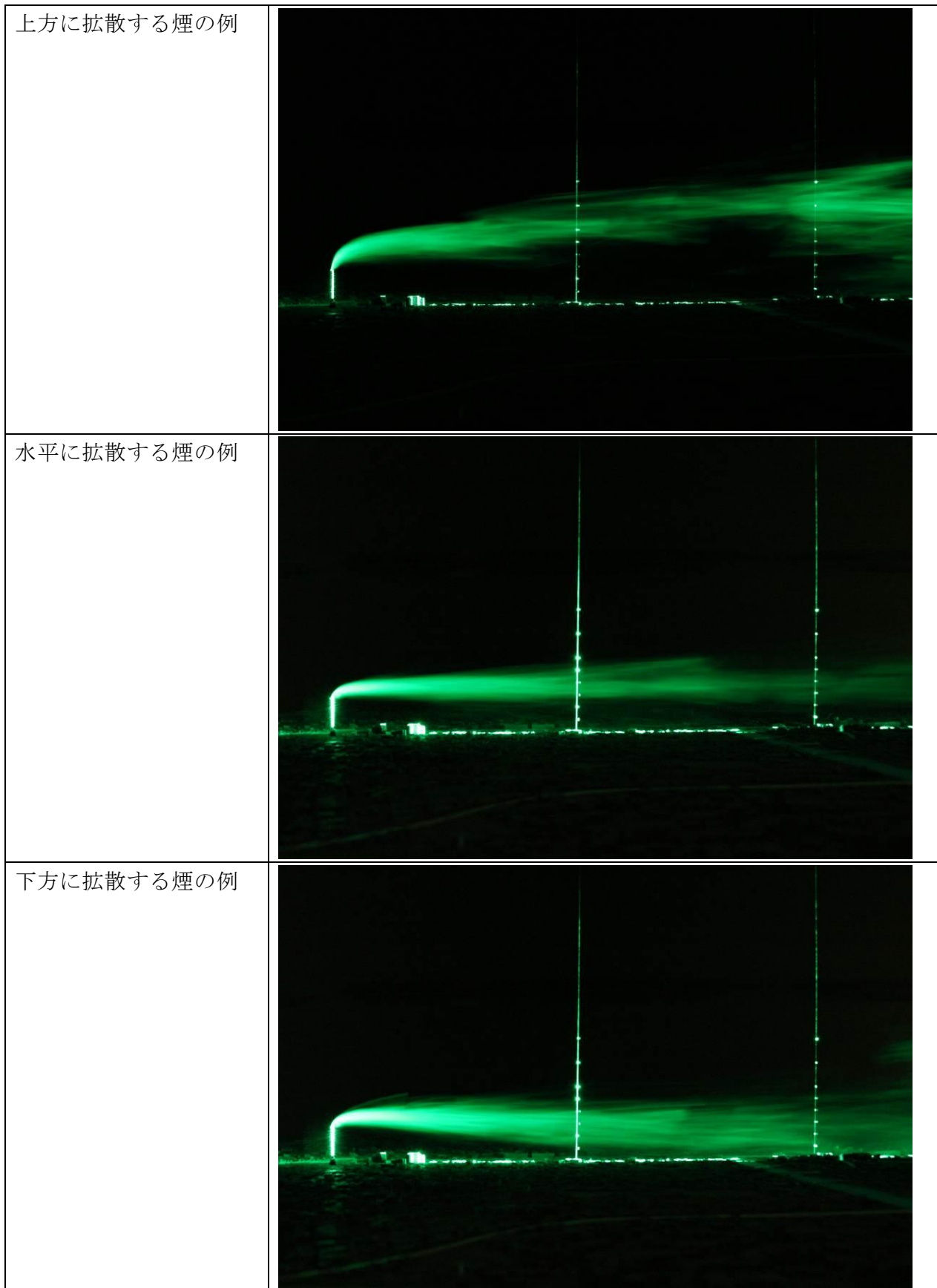


図 8.1-36 (2) 煙流し実験結果（風向東、強風時 8.0m/s）

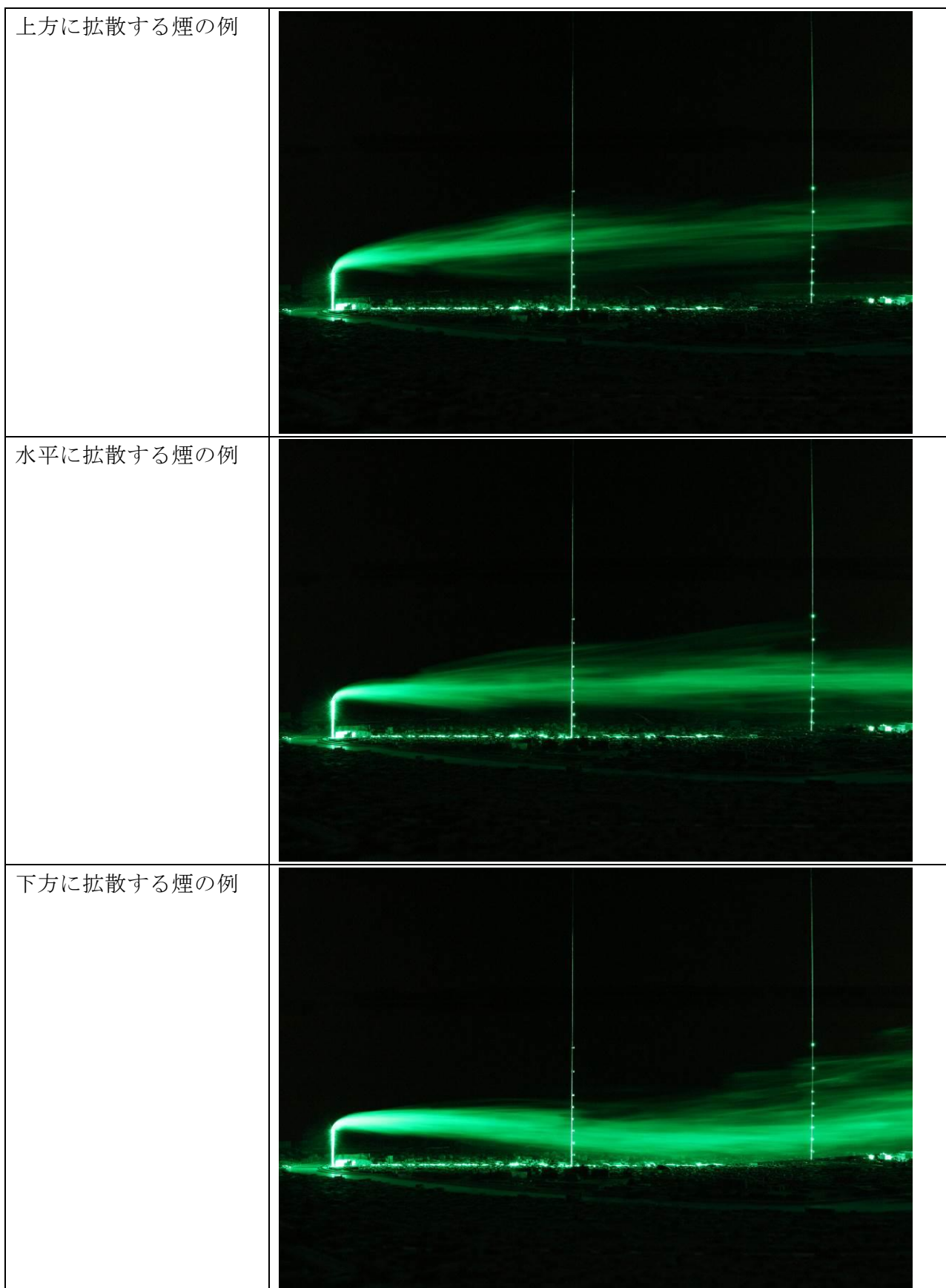


図 8.1-36 (3) 煙流し実験結果（風向南、強風時 8.0m/s）

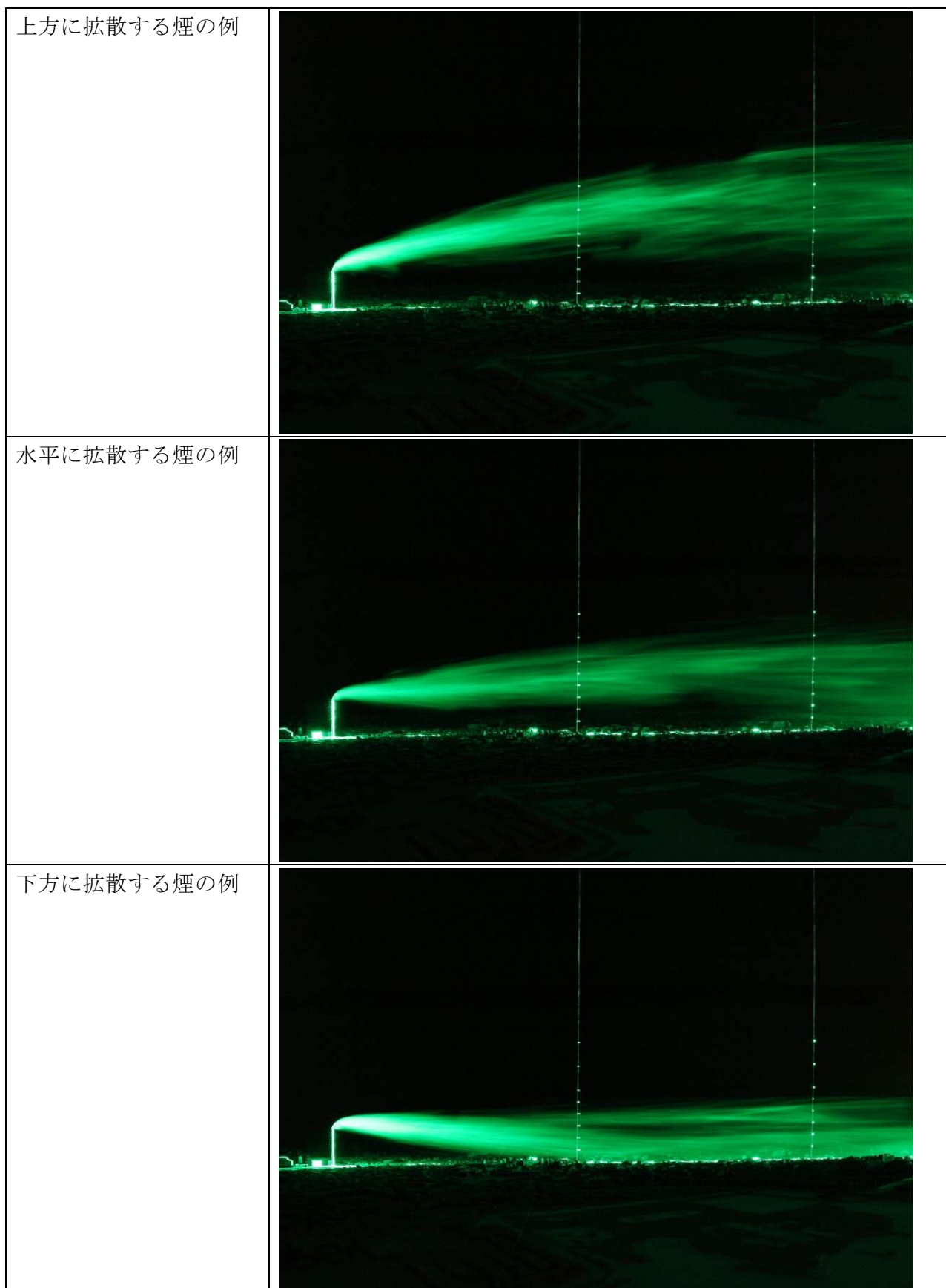


図 8.1-36 (4) 煙流し実験結果（風向西、強風時 8.0m/s）

(I) 地形及び周辺建物の影響度

定量拡散実験における平板と地形模型上の最大地上濃度比及び最大地上濃度距離比は、表 8.1-24に示すとおりである。

4 風向の中で最大地上濃度比が一番大きい風向は、南となっている。その他の風向では、最大地上濃度比は1に近い値となっている。

風向南では、風下2km付近に高さ50m程度のビルが複数存在していることから、その影響で地表濃度が高くなったと考えられる。

表 8.1-24 最大着地濃度及び最大着地濃度出現距離の比較

■風速 3.7m/s

| 風向 | 希釈比 ($\times 10^{-5}$) | 最大地上 濃度距離 (m) | 最大地上 濃度比 α (地形/平板) | 最大地上 濃度距離比 β (地形/平板) |
|-----|-----------------------------|---------------------|---------------------------------|----------------------------------|
| 平板 | 3.57 | 3,250 | — | — |
| 風向北 | 3.61 | 3,250 | 1.01 | 1.00 |
| 風向東 | 3.62 | 3,500 | 1.01 | 1.08 |
| 風向南 | 4.01 | 3,250 | 1.12 | 1.00 |
| 風向西 | 3.72 | 3,500 | 1.04 | 1.08 |

■風速 8.0m/s

| 風向 | 希釈比 ($\times 10^{-5}$) | 最大地上 濃度距離 (m) | 最大地上 濃度比 α (地形/平板) | 最大地上 濃度距離比 β (地形/平板) |
|-----|-----------------------------|---------------------|---------------------------------|----------------------------------|
| 平板 | 2.50 | 2,250 | — | — |
| 風向北 | 2.47 | 3,000 | 0.99 | 1.33 |
| 風向東 | 2.58 | 2,750 | 1.03 | 1.22 |
| 風向南 | 2.93 | 2,500 | 1.17 | 1.11 |
| 風向西 | 2.56 | 2,750 | 1.02 | 1.22 |

(オ) 風洞実験結果を考慮した補正係数

ブルーム式での計算及び風洞実験による地表煙軸濃度分布は、図 8.1-37～図 8.1-44に示すとおりである。

ブルーム式での計算による地表煙軸濃度分布が風洞実験による地表煙軸濃度分布とほぼ同様になるように、ブルーム式の鉛直拡散係数（ σ_z ）に補正係数Kを、ブルーム式の計算結果に補正係数 K_c を乗じて補正した。

$$C(x, y, z) = K_c \cdot \frac{Q_p}{2\pi \sigma_y \sigma_z K u} \cdot \exp\left(-\frac{y^2}{2\sigma_y^2}\right) \cdot \left(\exp\left\{-\frac{(z - He)^2}{2(\sigma_z K)^2}\right\} + \exp\left\{-\frac{(z + He)^2}{2(\sigma_z K)^2}\right\} \right) \cdot 10^6$$

ここで、

- $C(x, y, z)$: 計算点 (x, y, z) の濃度 (ppm又は mg/m^3)
- x, y : 計算点の x, y 座標 (m)
- z : 計算点の z 座標 (m)
- Q_p : 点煙源強度 (m^3/s 又は kg/s)
- u : 風速 (m/s)
- He : 有効煙突高 (m)
- σ_y : 水平方向拡散幅 (m)
- σ_z : 鉛直方向拡散幅 (m)
- K : 風洞実験による σ_z の補正係数
- K_c : 風洞実験による濃度の補正係数

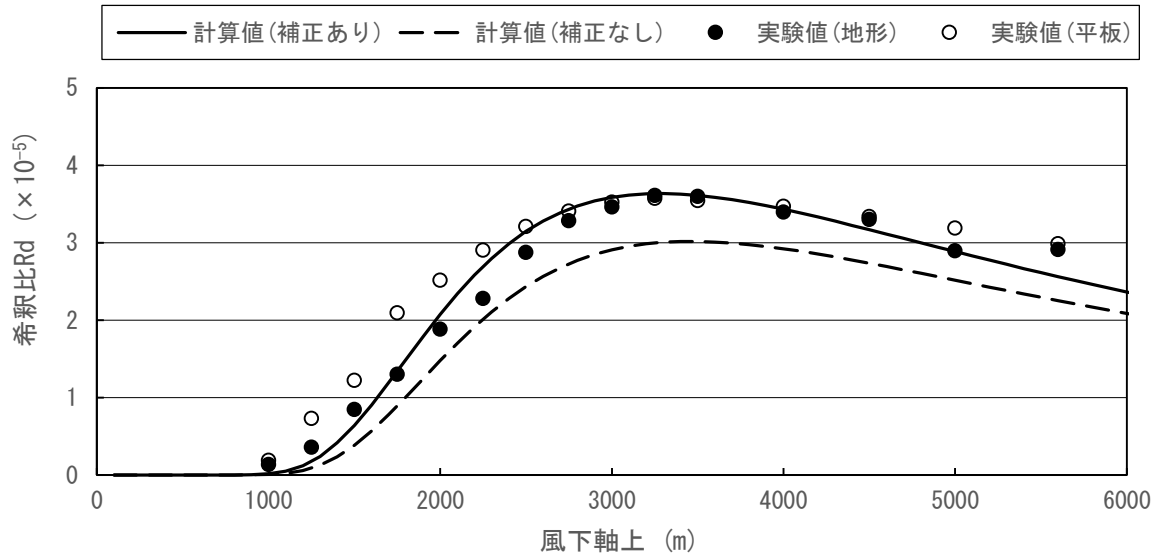


図 8.1-37 排出濃度分布の実験値と計算値の比較（風向：北、風速：3.7m/s、 σ_z の補正係数：1.05、濃度の補正係数：1.15）

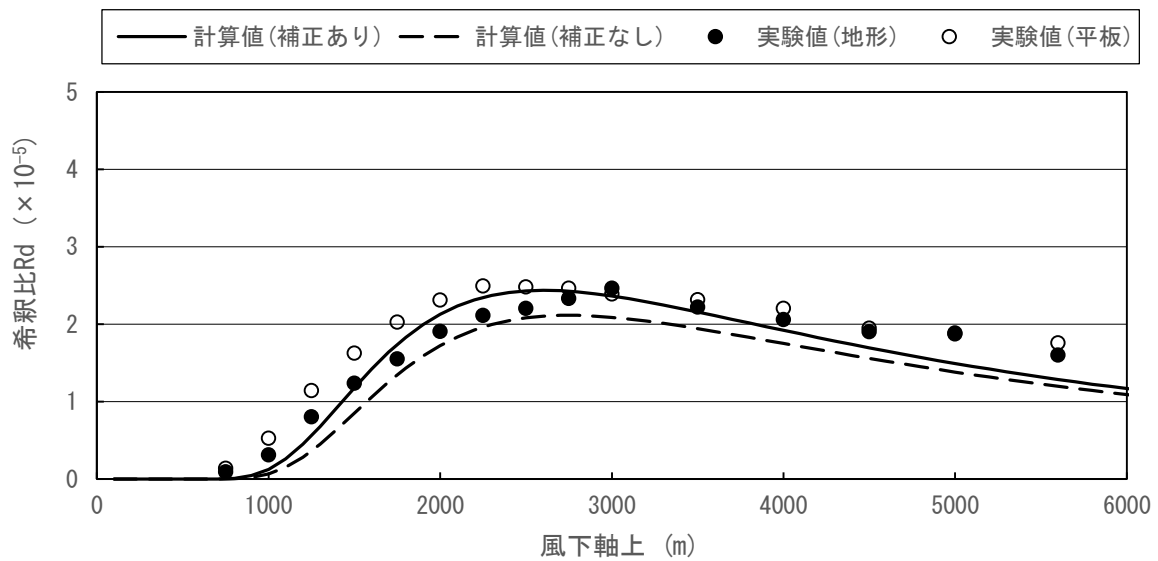


図 8.1-38 排出濃度分布の実験値と計算値の比較（風向：北、風速：8.0m/s、 σ_z の補正係数：1.05、濃度の補正係数：1.10）

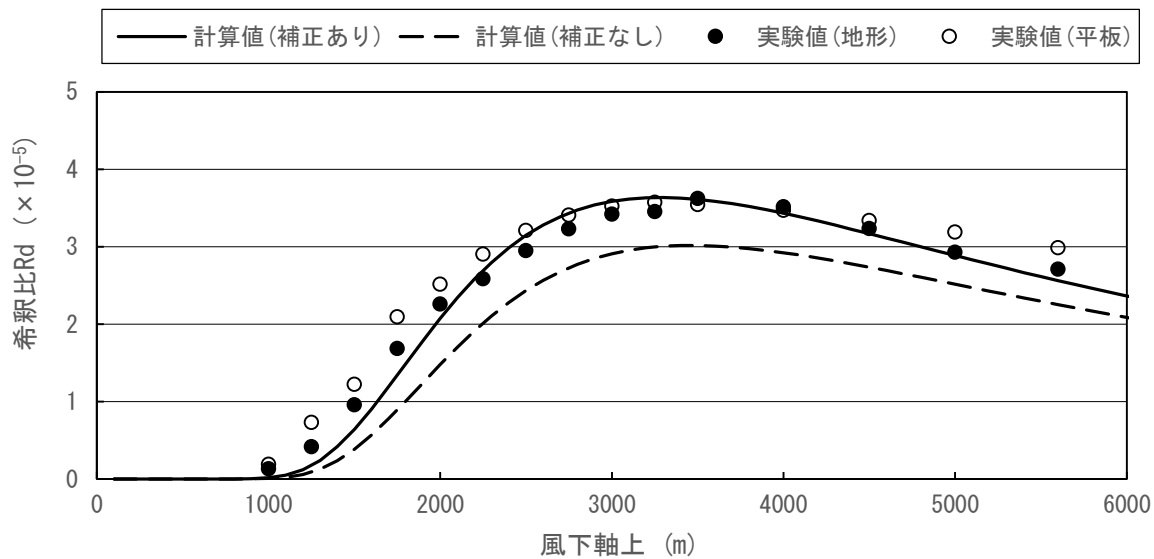


図 8.1-39 排出濃度分布の実験値と計算値の比較（風向：東、風速：3.7m/s、 σ_z の補正係数：1.05、濃度の補正係数：1.15）

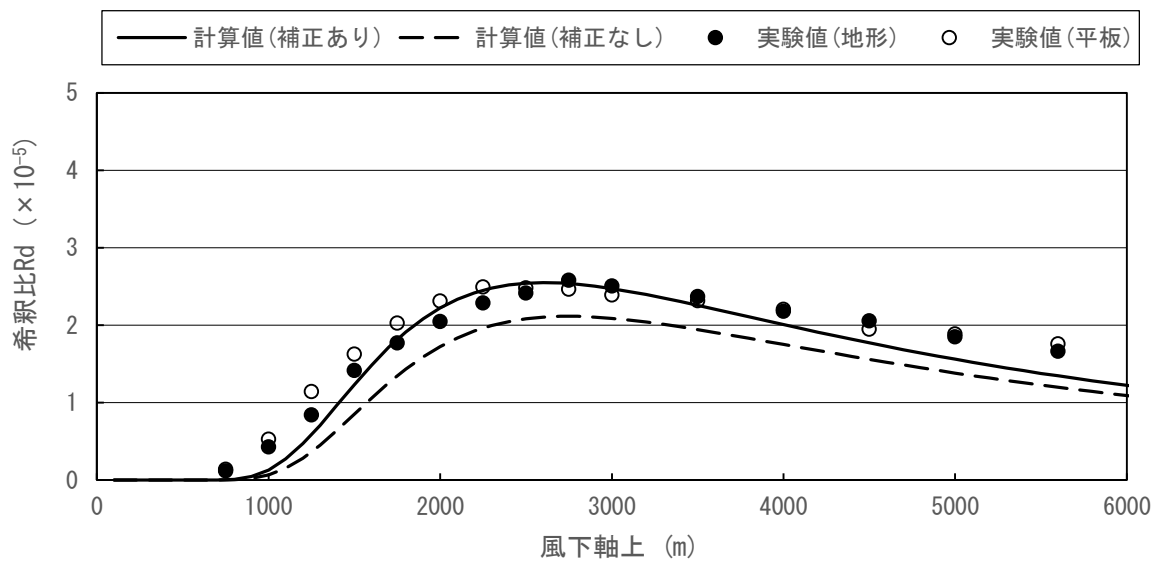


図 8.1-40 排出濃度分布の実験値と計算値の比較（風向：東、風速：8.0m/s、 σ_z の補正係数：1.05、濃度の補正係数：1.15）

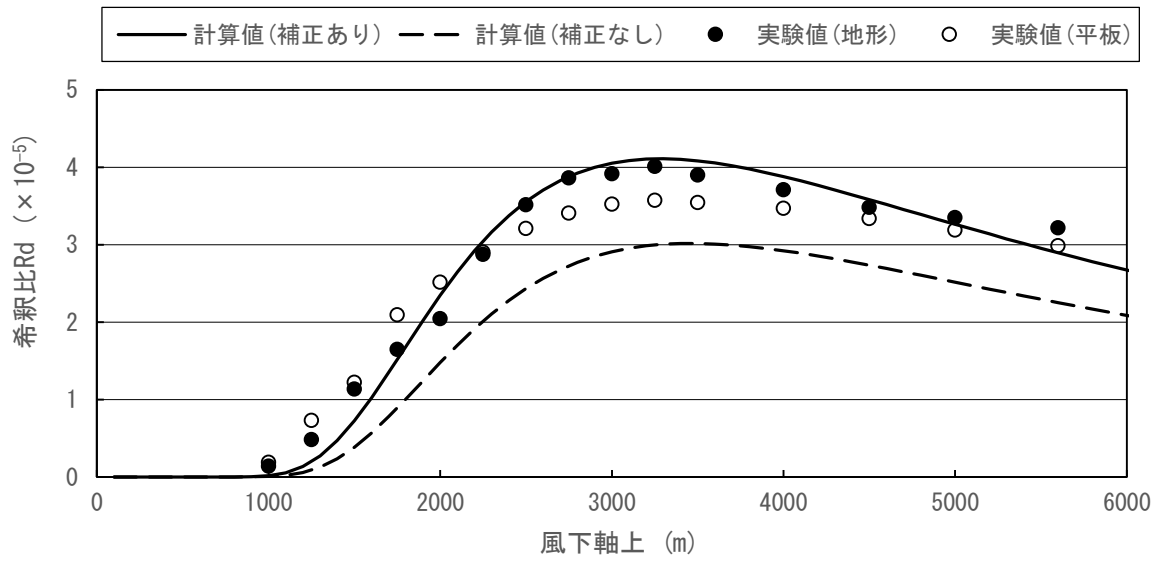


図 8.1-41 排出濃度分布の実験値と計算値の比較（風向：南、風速：3.7m/s、 σ_z の補正係数：1.05、濃度の補正係数：1.30）

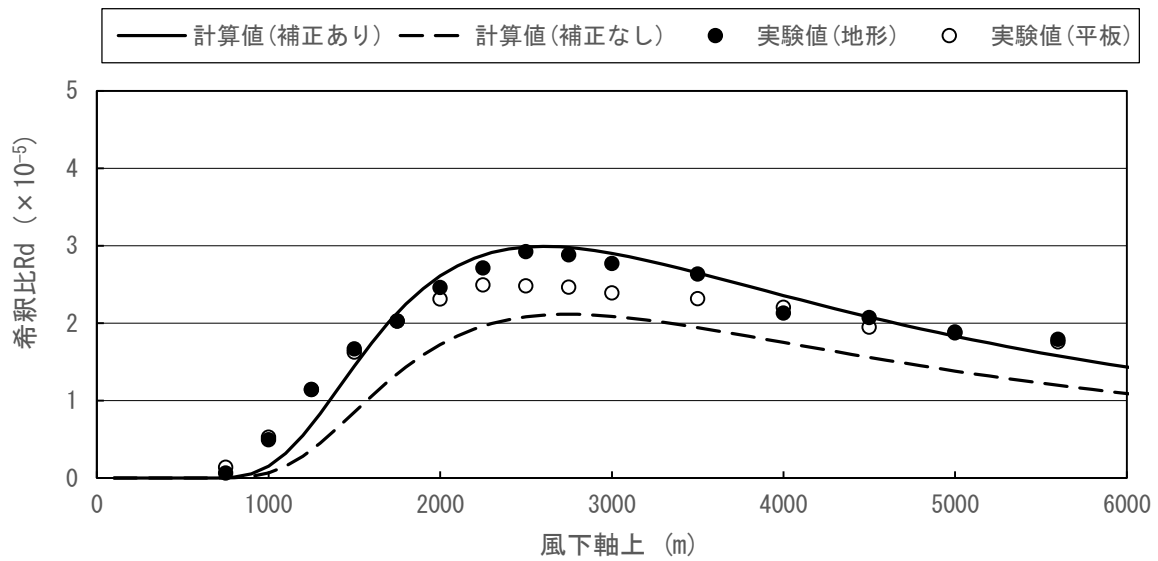


図 8.1-42 排出濃度分布の実験値と計算値の比較（風向：南、風速：8.0m/s、 σ_z の補正係数：1.05、濃度の補正係数：1.35）

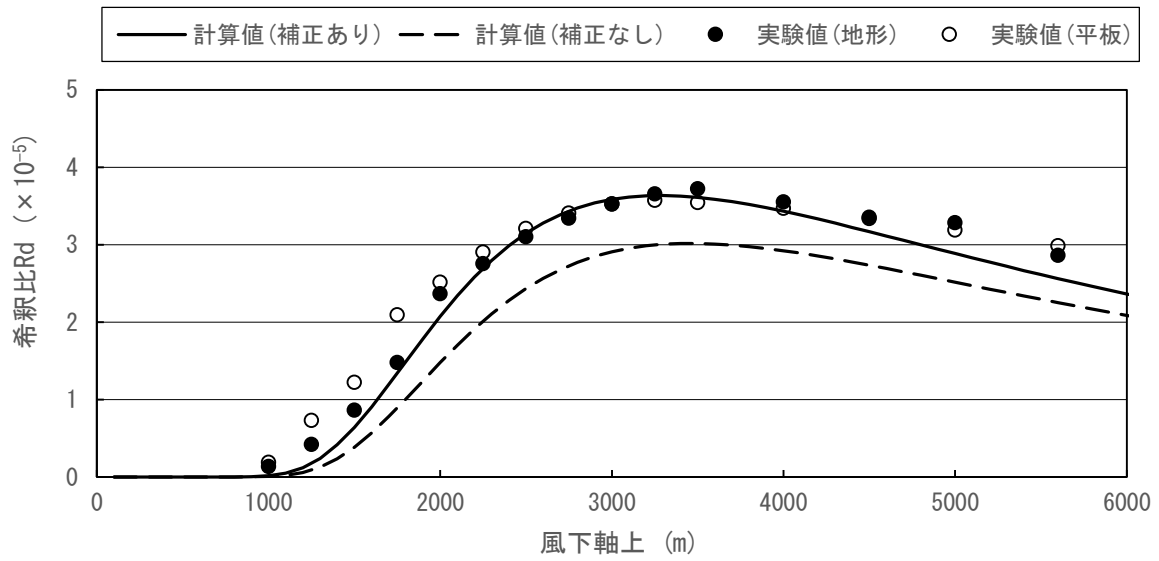


図 8.1-43 排出濃度分布の実験値と計算値の比較（風向：西、風速：3.7m/s、 σ_z の補正係数：1.05、濃度の補正係数：1.15）

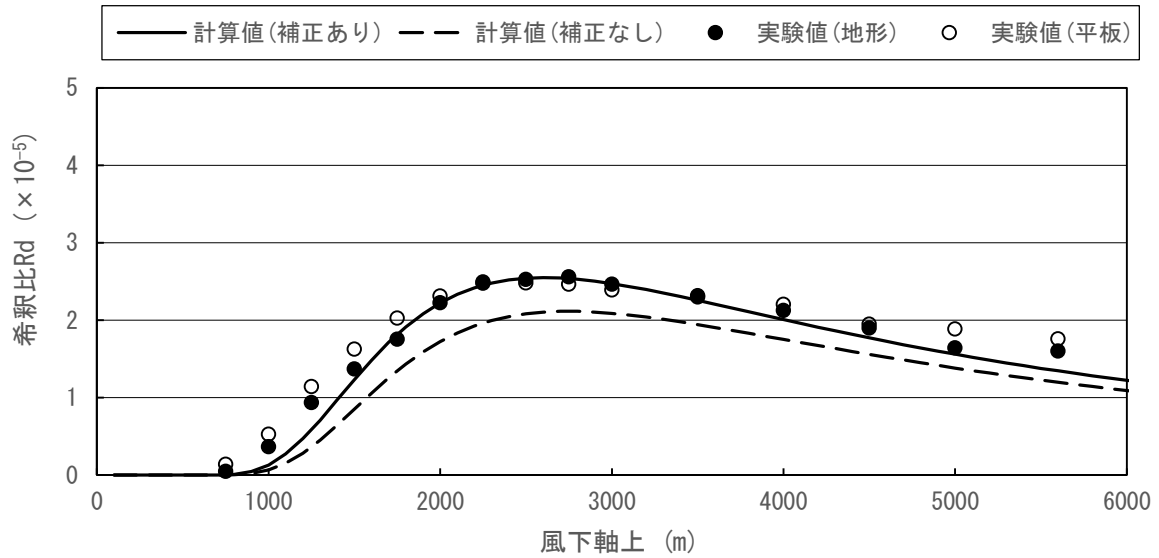


図 8.1-44 排出濃度分布の実験値と計算値の比較（風向：西、風速：8.0m/s、 σ_z の補正係数：1.05、濃度の補正係数：1.15）

以上の結果を考慮し、長期平均値（年平均値）予測において、有風時（風速1.0m/s以上）のブルーム式の計算結果に次式のとおり補正を行った。

$$C(R,z) = K_C \cdot \frac{1}{\sqrt{2\pi}} \cdot \frac{Q_p}{\frac{\pi}{8} R \sigma_z K u} \cdot \left(\exp\left\{-\frac{(z-He)^2}{2(\sigma_z K)^2}\right\} + \exp\left\{-\frac{(z+He)^2}{2(\sigma_z K)^2}\right\} \right) \cdot 10^6$$

ここで、

$C(R,z)$: 計算点 (R,z) の濃度 (ppm又は mg/m^3)

R : 点煙源と計算点の水平距離 (m) $\left(R = \sqrt{x^2 + y^2}\right)$

x,y : 計算点の x,y 座標 (m)

z : 計算点の z 座標 (m)

Q_p : 点煙源強度 (m^3/s 又は kg/s)

u : 風速 (m/s)

He : 有効煙突高 (m)

σ_z : 鉛直 (z) 方向の拡散パラメーター (m)

K : 風洞実験による σ_z の補正係数 (=1.05)

K_C : 風洞実験による濃度の補正係数 (表 8.1-25を参照)

濃度の補正係数 K_C は、気象区分別に表 8.1-25に示すとおり設定した。

地形及び周辺建物によって高濃度が出現するのは風の影響と考えられるため、無風時及び弱風時 (0.0~0.9m/s) については補正を行わないこととした。

大気安定度に関しては、風洞実験を行った中立時の値を全ての大気安定度に適用した。

表 8.1-25 風洞実験による濃度の補正係数

| 風向 | 風速 | | |
|-----|------------|------------|-----------|
| | 1.0~3.7m/s | 3.8~7.9m/s | 8.0m/s 以上 |
| 北 | 1.15 | 1.13 | 1.10 |
| 北北東 | 1.15 | 1.13 | 1.11 |
| 北東 | 1.15 | 1.14 | 1.13 |
| 東北東 | 1.15 | 1.14 | 1.14 |
| 東 | 1.15 | 1.15 | 1.15 |
| 東南東 | 1.19 | 1.19 | 1.20 |
| 南東 | 1.23 | 1.24 | 1.25 |
| 南南東 | 1.26 | 1.28 | 1.30 |
| 南 | 1.30 | 1.33 | 1.35 |
| 南南西 | 1.26 | 1.28 | 1.30 |
| 南西 | 1.23 | 1.24 | 1.25 |
| 西南西 | 1.19 | 1.19 | 1.20 |
| 西 | 1.15 | 1.15 | 1.15 |
| 西北西 | 1.15 | 1.14 | 1.14 |
| 北西 | 1.15 | 1.14 | 1.13 |
| 北北西 | 1.15 | 1.13 | 1.11 |

注) 気象区分別の補正係数は以下のとおり設定した。

- ・風洞実験を行った条件（方位：北、南、西、東）（風速：3.7m/s、8.0m/s）は、実験から得られた値とした。
- ・それ以外の箇所は、補正値を線形内挿することにより求めた。

8.1.3 評価

(1) 評価の指標

ア 長期平均値

(ア) 塩化水素の目標環境濃度について（0.02ppm）

塩化水素の環境濃度は、塩化水素の排出基準の設定根拠から示され、0.02ppmである。塩化水素の排出基準の考え方は、環境庁大気保全局長通達（昭和52年6月16日環大規第136号）の中で「目標環境濃度は、日本産業衛生学会「許容濃度に関する委員会勧告」に示された労働環境濃度を参考として0.02ppmとし、平均的な排出口高さを有する施設からの塩化水素の排出が、拡散条件の悪い場合にあってもこれを満足するよう排出基準値を設定した。」とある。

資料)「廃棄物処理施設 生活環境影響調査指針」(平成18年9月、環境省)

(イ) 水銀の環境濃度について（年平均値 $0.04 \mu\text{g-Hg}/\text{m}^3$ 以下）

中央環境審議会の「今後の有害大気汚染物質対策のあり方について（第7次答申）」（平成15年7月31日答申）によれば、環境中の有害大気汚染物質による健康リスクの低減を図るための指針となる数値（指針値）として、水銀については年平均値 $0.04 \mu\text{g-Hg}/\text{m}^3$ 以下と設定されている。

資料)「廃棄物処理施設 生活環境影響調査指針」(平成18年9月、環境省)

イ 短期平均値

(ア) 二酸化窒素の目標環境濃度について（1時間値が0.1～0.2ppm以下）

中央公害対策審議会の短期暴露指針値（「二酸化窒素の人の健康に係る判定条件等について」（中央公害対策審議会、昭和53年3月22日答申）では、「二酸化窒素の1時間値が0.1～0.2ppm以下」としている。

資料)「廃棄物処理施設 生活環境影響調査指針」(平成18年9月、環境省)

8.1 大気汚染（資料編）

（2）評価方法

年平均値から日平均値の2%除外値又は日平均値の年間98%値への変換は、計画地から半径5km内にある常時監視測定局における過去5年間（平成24年度から平成28年度まで）の値について一次回帰分析を行い求めた。

各測定局における過去5年間の測定結果は表 8.1-26(1)～(5)に示すとおりであり、一次回帰分析結果は表 8.1-27及び 図 8.1-45(1)～(5)に示すとおりである。

表 8.1-26(1) 一般環境大気測定局測定結果（二酸化硫黄）

単位：ppm

| 測定局 | 項目 | 年 度 | | | | |
|---------------|------------|-------|-------|-------|-------|-------|
| | | 24年度 | 25年度 | 26年度 | 27年度 | 28年度 |
| 江戸川区鹿骨 測定局 | 年平均値 | 0.002 | 0.002 | 0.002 | 0.002 | 0.002 |
| | 日平均値の2%除外値 | 0.004 | 0.004 | 0.004 | 0.005 | 0.004 |
| 市川本八幡 測定局 | 年平均値 | 0.001 | 0.001 | 0.001 | 0.001 | 0.001 |
| | 日平均値の2%除外値 | 0.003 | 0.003 | 0.004 | 0.003 | 0.002 |
| 市川行徳駅前 測定局 | 年平均値 | 0.002 | 0.001 | 0.002 | 0.002 | 0.001 |
| | 日平均値の2%除外値 | 0.005 | 0.004 | 0.004 | 0.004 | 0.003 |
| 浦安猫実 測定局 | 年平均値 | 0.001 | 0.001 | 0.001 | 0.001 | 0.001 |
| | 日平均値の2%除外値 | 0.004 | 0.004 | 0.004 | 0.004 | 0.003 |
| 中央測定局 | 年平均値 | 0.002 | 0.002 | 0.002 | 0.002 | 0.002 |
| | 日平均値の2%除外値 | 0.005 | 0.004 | 0.004 | 0.004 | 0.004 |

表 8.1-26(2) 一般環境大気測定局測定結果（浮遊粒子状物質）

単位：mg/m³

| 測定局 | 項目 | 年 度 | | | | |
|----------------|------------|-------|-------|-------|-------|-------|
| | | 24年度 | 25年度 | 26年度 | 27年度 | 28年度 |
| 江戸川区鹿骨 測定局 | 年平均値 | 0.016 | 0.018 | 0.018 | 0.019 | 0.015 |
| | 日平均値の2%除外値 | 0.041 | 0.057 | 0.051 | 0.046 | 0.038 |
| 江戸川区春江町 測定局 | 年平均値 | 0.023 | 0.023 | 0.022 | 0.020 | 0.017 |
| | 日平均値の2%除外値 | 0.051 | 0.058 | 0.054 | 0.046 | 0.039 |
| 江戸川区南葛西 測定局 | 年平均値 | 0.021 | 0.024 | 0.024 | 0.022 | 0.018 |
| | 日平均値の2%除外値 | 0.048 | 0.059 | 0.054 | 0.047 | 0.041 |
| 市川新田 測定局 | 年平均値 | 0.018 | 0.019 | 0.019 | 0.019 | 0.016 |
| | 日平均値の2%除外値 | 0.045 | 0.055 | 0.057 | 0.047 | 0.038 |
| 市川二俣 測定局 | 年平均値 | 0.020 | 0.022 | 0.025 | 0.023 | 0.016 |
| | 日平均値の2%除外値 | 0.051 | 0.061 | 0.067 | 0.060 | 0.036 |
| 市川本八幡 測定局 | 年平均値 | 0.021 | 0.022 | 0.021 | 0.020 | 0.017 |
| | 日平均値の2%除外値 | 0.052 | 0.062 | 0.058 | 0.046 | 0.038 |
| 市川行徳駅前 測定局 | 年平均値 | 0.023 | 0.029 | 0.025 | 0.025 | 0.016 |
| | 日平均値の2%除外値 | 0.051 | 0.066 | 0.061 | 0.054 | 0.036 |
| 浦安猫実 測定局 | 年平均値 | 0.019 | 0.021 | 0.022 | 0.023 | 0.018 |
| | 日平均値の2%除外値 | 0.044 | 0.061 | 0.055 | 0.050 | 0.042 |
| 中央測定局 | 年平均値 | 0.020 | 0.021 | 0.019 | 0.020 | 0.019 |
| | 日平均値の2%除外値 | 0.046 | 0.059 | 0.052 | 0.048 | 0.041 |

表 8.1-26(3) 一般環境大気測定局測定結果（二酸化窒素）

単位：ppm

| 測定局 | 項目 | 年 度 | | | | |
|----------------|------------|-------|-------|-------|-------|-------|
| | | 24年度 | 25年度 | 26年度 | 27年度 | 28年度 |
| 江戸川区鹿骨 測定局 | 年平均値 | 0.018 | 0.017 | 0.017 | 0.017 | 0.015 |
| | 日平均の年間98%値 | 0.042 | 0.042 | 0.037 | 0.037 | 0.035 |
| 江戸川区春江町 測定局 | 年平均値 | 0.019 | 0.019 | 0.019 | 0.018 | 0.017 |
| | 日平均の年間98%値 | 0.046 | 0.043 | 0.042 | 0.039 | 0.038 |
| 江戸川区南葛西 測定局 | 年平均値 | 0.021 | 0.020 | 0.020 | 0.020 | 0.019 |
| | 日平均の年間98%値 | 0.046 | 0.043 | 0.044 | 0.040 | 0.038 |
| 市川新田 測定局 | 年平均値 | 0.017 | 0.017 | 0.017 | 0.016 | 0.015 |
| | 日平均の年間98%値 | 0.044 | 0.042 | 0.039 | 0.038 | 0.036 |
| 市川二俣 測定局 | 年平均値 | 0.022 | 0.021 | 0.021 | 0.020 | 0.019 |
| | 日平均の年間98%値 | 0.050 | 0.046 | 0.042 | 0.043 | 0.040 |
| 市川本八幡 測定局 | 年平均値 | 0.017 | 0.017 | 0.016 | 0.016 | 0.015 |
| | 日平均の年間98%値 | 0.041 | 0.041 | 0.037 | 0.036 | 0.036 |
| 市川行徳駅前 測定局 | 年平均値 | 0.017 | 0.018 | 0.017 | 0.017 | 0.016 |
| | 日平均の年間98%値 | 0.043 | 0.041 | 0.039 | 0.038 | 0.039 |
| 浦安猫実 測定局 | 年平均値 | 0.019 | 0.019 | 0.019 | 0.019 | 0.017 |
| | 日平均の年間98%値 | 0.043 | 0.042 | 0.037 | 0.038 | 0.038 |
| 中央測定局 | 年平均値 | 0.020 | 0.020 | 0.020 | 0.019 | 0.018 |
| | 日平均の年間98%値 | 0.045 | 0.045 | 0.043 | 0.041 | 0.039 |

表 8.1-26(4) 自動車排出ガス測定局測定結果（浮遊粒子状物質）

単位：mg/m³

| 測定局 | 項目 | 年 度 | | | | |
|--------------|------------|-------|-------|-------|-------|-------|
| | | 24年度 | 25年度 | 26年度 | 27年度 | 28年度 |
| 市川市市川 測定局 | 年平均値 | 0.020 | 0.022 | 0.021 | 0.021 | 0.018 |
| | 日平均値の2%除外値 | 0.048 | 0.061 | 0.055 | 0.051 | 0.042 |
| 市川行徳 測定局 | 年平均値 | 0.020 | 0.022 | 0.020 | 0.020 | 0.018 |
| | 日平均値の2%除外値 | 0.047 | 0.067 | 0.053 | 0.048 | 0.041 |
| 浦安美浜 測定局 | 年平均値 | 0.019 | 0.019 | 0.020 | 0.019 | 0.017 |
| | 日平均値の2%除外値 | 0.047 | 0.057 | 0.056 | 0.047 | 0.040 |
| 篠崎測定局 | 年平均値 | 0.023 | 0.024 | 0.024 | 0.022 | 0.020 |
| | 日平均値の2%除外値 | 0.052 | 0.060 | 0.055 | 0.049 | 0.044 |
| 上一色測定局 | 年平均値 | 0.021 | 0.021 | 0.021 | 0.020 | 0.018 |
| | 日平均値の2%除外値 | 0.050 | 0.058 | 0.053 | 0.048 | 0.040 |

表 8.1-26(5) 自動車排出ガス測定局測定結果（二酸化窒素）

単位：ppm

| 測定局 | 項目 | 年 度 | | | | |
|--------------|------------|-------|-------|-------|-------|-------|
| | | 24年度 | 25年度 | 26年度 | 27年度 | 28年度 |
| 市川市市川 測定局 | 年平均値 | 0.024 | 0.023 | 0.022 | 0.022 | 0.021 |
| | 日平均の年間98%値 | 0.047 | 0.046 | 0.041 | 0.043 | 0.041 |
| 市川行徳 測定局 | 年平均値 | 0.022 | 0.021 | 0.021 | 0.021 | 0.019 |
| | 日平均の年間98%値 | 0.046 | 0.042 | 0.043 | 0.041 | 0.039 |
| 浦安美浜 測定局 | 年平均値 | 0.022 | 0.021 | 0.021 | 0.021 | 0.021 |
| | 日平均の年間98%値 | 0.049 | 0.044 | 0.043 | 0.042 | 0.043 |
| 篠崎測定局 | 年平均値 | 0.028 | 0.028 | 0.028 | 0.028 | 0.026 |
| | 日平均の年間98%値 | 0.053 | 0.051 | 0.047 | 0.048 | 0.047 |
| 上一色測定局 | 年平均値 | 0.024 | 0.025 | 0.025 | 0.024 | 0.022 |
| | 日平均の年間98%値 | 0.047 | 0.048 | 0.047 | 0.045 | 0.043 |

表 8.1-27 一次回帰分析結果

| 測定局 | 項目 | 変換式 | サンプル数 | 相関係数 |
|----------------|---------|--------------------|-------|--------|
| 一般環境大気 測定局 | 二酸化硫黄 | $y=0.8141x+0.0026$ | 25 | 0.6034 |
| | 浮遊粒子状物質 | $y=2.2230x+0.0051$ | 45 | 0.7902 |
| | 二酸化窒素 | $y=1.4179x+0.0150$ | 45 | 0.7511 |
| 自動車排出ガス 測定局 | 浮遊粒子状物質 | $y=2.7231x-0.0048$ | 25 | 0.7127 |
| | 二酸化窒素 | $y=1.0686x+0.0202$ | 25 | 0.8391 |

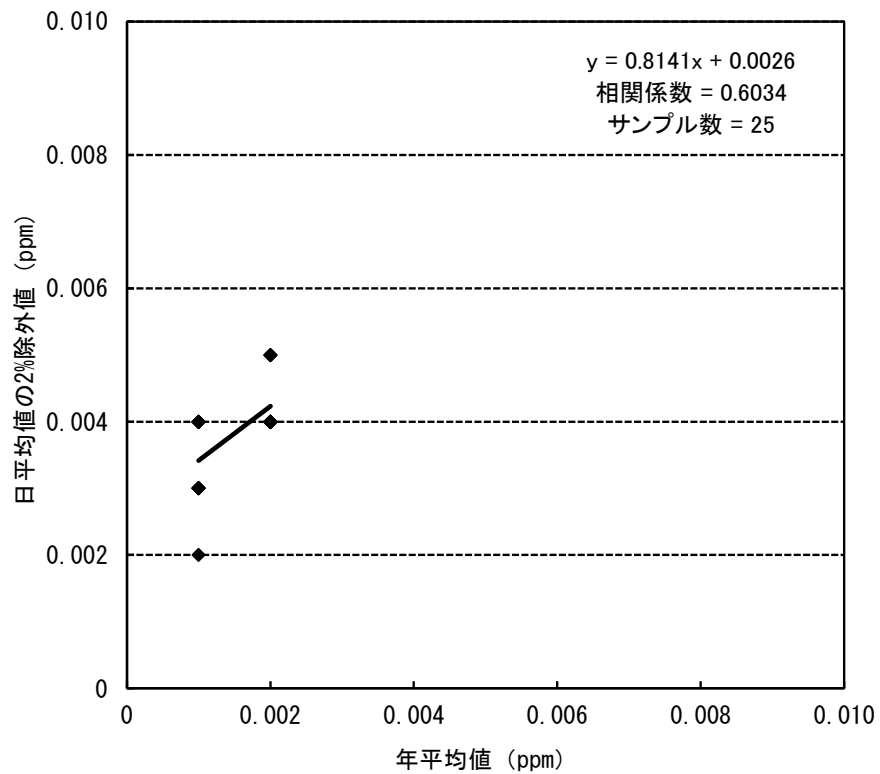


図 8.1-45(1) 一般環境大気測定局年平均値・日平均値の2%除外値散布図
(二酸化硫黄)

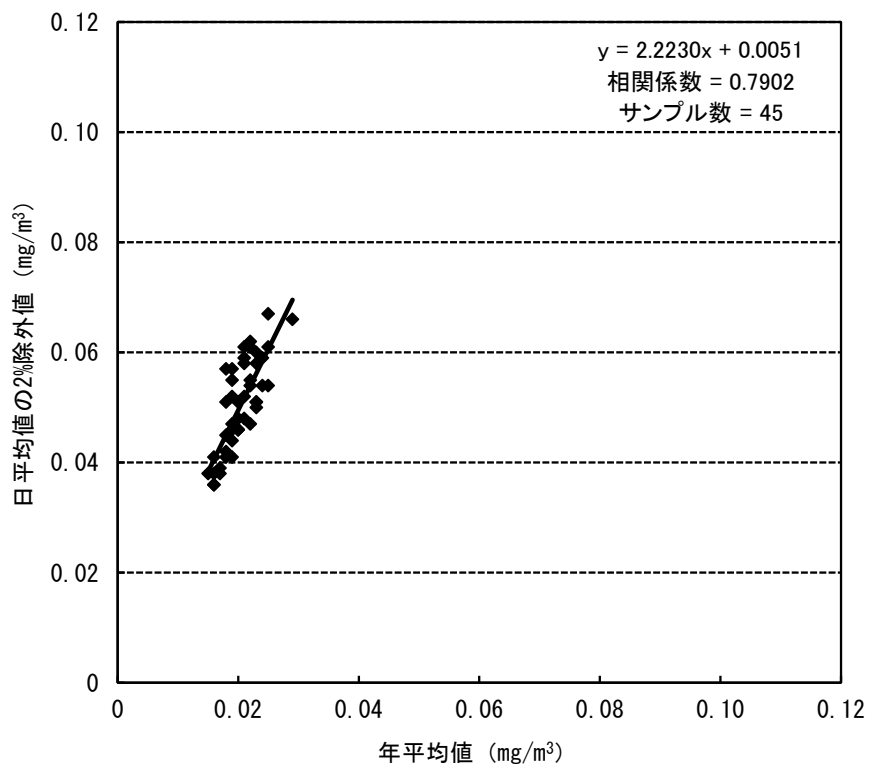


図 8.1-45(2) 一般環境大気測定局年平均値・日平均値の2%除外値散布図
(浮遊粒子状物質)

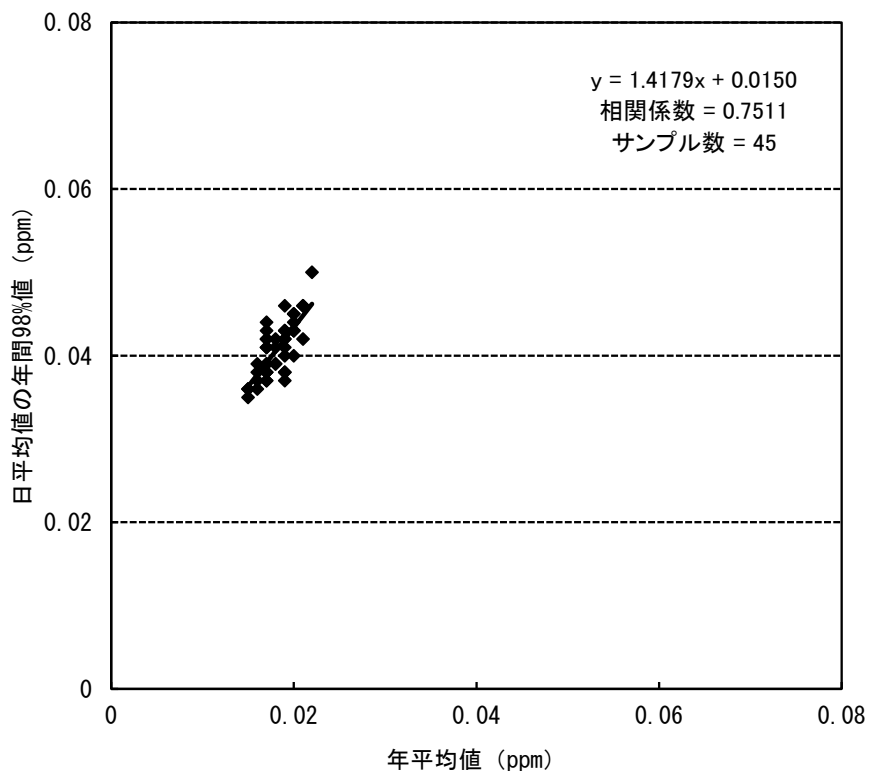


図 8.1-45(3) 一般環境大気測定局年平均値・日平均値の年間98%値散布図
(二酸化窒素)

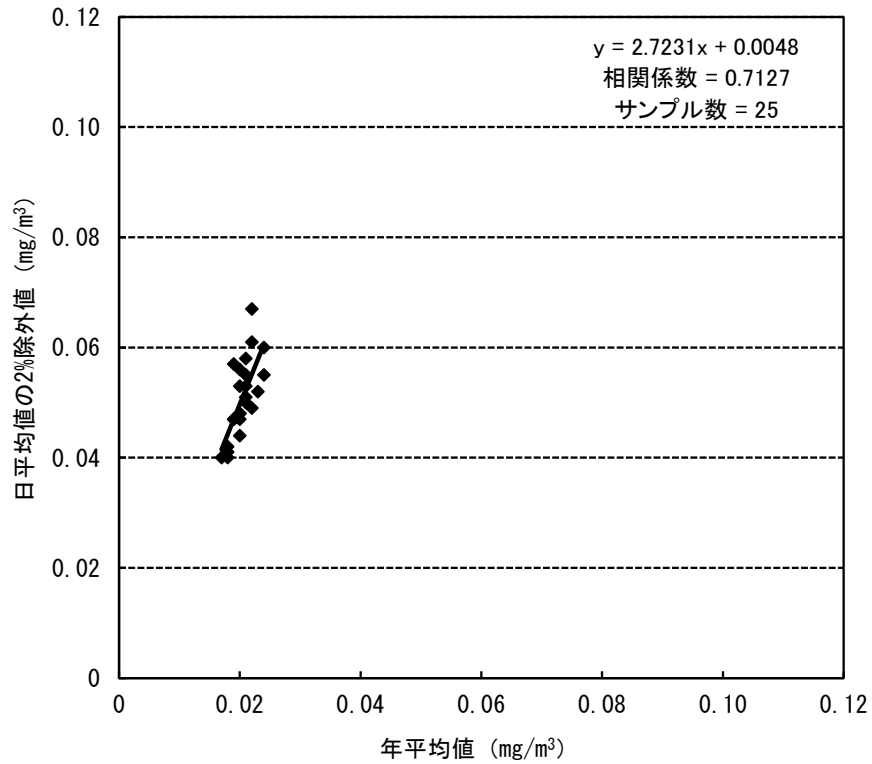


図 8.1-45(4) 自動車排出ガス測定局年平均値・日平均値の2%除外値散布図
（浮遊粒子状物質）

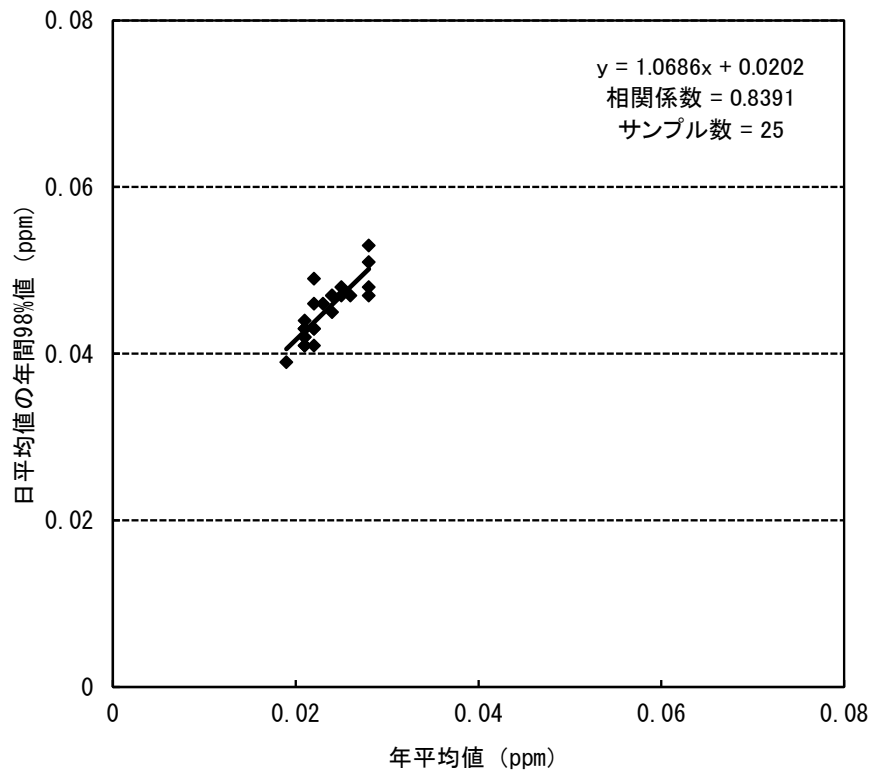


図 8.1-45(5) 自動車排出ガス測定局年平均値・日平均値の年間98%値散布図
（二酸化窒素）

8.1.4 重合影響

(1) 工事の施行中

ア 建設機械の稼働及び工事用車両の走行に伴い発生する二酸化窒素及び浮遊粒子状物質の大気中における濃度

(ア) 浮遊粒子状物質

建設機械の稼働及び工事用車両の走行に伴い発生する浮遊粒子状物質の大気中における濃度の重合結果及び評価の結果は表 8.1-28及び表 8.1-29に示すとおりである。

浮遊粒子状物質の予測濃度は、0.02010229～0.02010934mg/m³であり、予測濃度に対する寄与率は0.50%である。

また、予測濃度の日平均の2%除外値は0.050mg/m³であり、評価の指標とした環境基準を下回る。

表 8.1-28 建設機械の稼働及び工事用車両の走行に伴い発生する浮遊粒子状物質の重合予測結果

単位:mg/m³

| 予測地点 | | バックグラウンド濃度 A | 将来一般交通量による寄与濃度 B | 建設機械による寄与濃度 C | 工事用車両による寄与濃度 D | 予測濃度 A+B+C+D | 寄与率 (C+D) / (A+B+C+D) ×100 |
|------|----------|-----------------|---------------------|------------------|-------------------|-----------------|-------------------------------|
| 1 | 江戸川小学校前 | 0.020 | 0.00000623 | <0.0001 | 0.00000046 | 0.02010669 | 0.50 |
| | 出車方向 | | 0.00000765 | <0.0001 | 0.00000057 | 0.02010822 | 0.50 |
| 2 | 入車方向 | | 0.00000873 | 0.0001 | 0.00000061 | 0.02010934 | 0.50 |
| | 出車方向 | | 0.00000785 | 0.0001 | 0.00000058 | 0.02010843 | 0.50 |
| 3 | 下鎌田東小学校前 | | 0.00000405 | 0.0001 | 0.00000019 | 0.02010424 | 0.50 |
| | 出車方向 | | 0.00000494 | 0.0001 | 0.00000025 | 0.02010519 | 0.50 |
| 5 | 柴又街道 | | 0.00000211 | 0.0001 | 0.00000018 | 0.02010229 | 0.50 |
| | 出車方向 | | 0.00000249 | 0.0001 | 0.00000022 | 0.02010271 | 0.50 |

注) 建設機械による寄与濃度 0.0001mg/m³未満は 0.00001mg/m³として予測濃度及び寄与率を求めた。

表 8.1-29 建設機械の稼働及び工事用車両の走行に伴い発生する浮遊粒子状物質の評価結果

単位:mg/m³

| 予測地点 | | 予測濃度 | | 環境基準 |
|------|----------|----------------------|------------|-------------------|
| | | 年平均値 | 日平均値の2%除外値 | |
| 1 | 江戸川小学校前 | 0.020 (寄与率 0.50%) | 0.050 | 日平均値の2%除外値が0.10以下 |
| 2 | そよかぜひろば前 | 0.020 (寄与率 0.50%) | 0.050 | |
| 3 | 下鎌田東小学校前 | 0.020 (寄与率 0.50%) | 0.050 | |
| 5 | 柴又街道 | 0.020 (寄与率 0.50%) | 0.050 | |

注) 年平均値は、予測結果(表 8.1-28)において、道路端の高い方の濃度を小数第四位で四捨五入したものである。

浮遊粒子状物質のバックグラウンド濃度: 0.020 (mg/m³)

(4) 二酸化窒素

建設機械の稼働及び工事用車両の走行に伴い発生する二酸化窒素の大気中における濃度の重合結果及び評価の結果は表 8.1-30及び表 8.1-31に示すとおりである。

二酸化窒素の予測濃度は、0.018593～0.019218ppmであり、予測濃度に対する寄与率は1.27～3.37%である。

また、予測濃度の日平均の年間98%値は0.041ppmであり、評価の指標とした環境基準を下回る。

表 8.1-30 建設機械の稼働及び工事用車両の走行に伴い発生する二酸化窒素の重合予測結果

単位：ppm

| 予測地点 | | バックグラウンド濃度 A | 将来一般 交通量による 寄与濃度 B | 建設機械 による 寄与濃度 C | 工事用車両 による 寄与濃度 D | 予測濃度 A+B+C+D | 寄与率 (C+D) / (A+B+C+D) ×100 |
|------|----------|-----------------|-----------------------------|--------------------------|---------------------------|-----------------|-------------------------------------|
| 1 | 江戸川小学校前 | 0.018 | 0.000412 | 0.0002 | 0.000037 | 0.018649 | 1.27 |
| | 出車方向 | | 0.000498 | 0.0002 | 0.000045 | 0.018743 | 1.31 |
| 2 | 入車方向 | | 0.000570 | 0.0006 | 0.000048 | 0.019218 | 3.37 |
| | 出車方向 | | 0.000518 | 0.0006 | 0.000046 | 0.019164 | 3.37 |
| 3 | 下鎌田東小学校前 | | 0.000233 | 0.0006 | 0.000013 | 0.018846 | 3.25 |
| | 出車方向 | | 0.000281 | 0.0006 | 0.000017 | 0.018898 | 3.26 |
| 5 | 柴又街道 | | 0.000174 | 0.0004 | 0.000019 | 0.018593 | 2.25 |
| | 出車方向 | | 0.000205 | 0.0004 | 0.000023 | 0.018628 | 2.27 |

表 8.1-31 建設機械の稼働及び工事用車両の走行に伴い発生する二酸化窒素の評価結果

単位：ppm

| 予測地点 | | 予測濃度 | | 環境基準 |
|------|----------|---------------------|-----------------|---|
| | | 年平均値 | 日平均値の 年間98%値 | |
| 1 | 江戸川小学校前 | 0.019 (寄与率1.31%) | 0.041 | 日平均値の 年間98%値が 0.04から0.06 までのゾーン内 又はそれ以下 |
| 2 | そよかぜひろば前 | 0.019 (寄与率3.37%) | 0.041 | |
| 3 | 下鎌田東小学校前 | 0.019 (寄与率3.26%) | 0.041 | |
| 5 | 柴又街道 | 0.019 (寄与率2.27%) | 0.041 | |

注) 年平均値は、予測結果(表 8.1-30)において、道路端の高い方の濃度を小数第四位で四捨五入したものである。

二酸化窒素のバックグラウンド濃度：0.018 (ppm)

(2) 工事の完了後

ア 施設の稼働及びごみ収集車両等の走行に伴い発生する二酸化窒素及び浮遊粒子状物質の大気中における濃度

(7) 浮遊粒子状物質

施設の稼働及びごみ収集車両等の走行に伴い発生する浮遊粒子状物質の大気中における濃度の重合結果及び評価の結果は表 8.1-32及び表 8.1-33に示すとおりである。

浮遊粒子状物質の予測濃度は、0.02000521～0.02001556mg/m³であり、予測濃度に対する寄与率は0.01～0.02%である。

また、予測濃度の日平均の2%除外値は0.050mg/m³であり、評価の指標とした環境基準を下回る。

表 8.1-32 施設の稼働及びごみ収集車両等の走行に伴い発生する浮遊粒子状物質の重合予測結果

単位:mg/m³

| 予測地点 | | バックグラウンド濃度 A | 将来一般交通量による寄与濃度 B | 施設の稼働による寄与濃度 C | ごみ収集車両等による寄与濃度 D | 予測濃度 A+B+C+D | 寄与率 (C+D) / (A+B+C+D) ×100 |
|------|----------|-----------------|---------------------|-------------------|---------------------|-----------------|-------------------------------|
| 1 | 江戸川小学校前 | 入車方向 | 0.00000623 | 0.00000137 | 0.00000142 | 0.02000902 | 0.01 |
| | | 出車方向 | 0.00000765 | 0.00000137 | 0.00000166 | 0.02001068 | 0.02 |
| 2 | そよかぜひろば前 | 入車方向 | 0.00000873 | 0.00000098 | 0.00000197 | 0.02001168 | 0.01 |
| | | 出車方向 | 0.00000785 | 0.00000098 | 0.00000198 | 0.02001081 | 0.01 |
| 3 | 下鎌田東小学校前 | 入車方向 | 0.00000405 | 0.00000078 | 0.00000088 | 0.02000571 | 0.01 |
| | | 出車方向 | 0.00000494 | 0.00000078 | 0.00000120 | 0.02000692 | 0.01 |
| 4 | 篠崎街道 | 入車方向 | 0.00001327 | 0.00000163 | 0.00000017 | 0.02001507 | 0.01 |
| | | 出車方向 | 0.00001376 | 0.00000163 | 0.00000017 | 0.02001556 | 0.01 |
| 5 | 柴又街道 | 入車方向 | 0.00000211 | 0.00000283 | 0.00000027 | 0.02000521 | 0.02 |
| | | 出車方向 | 0.00000249 | 0.00000283 | 0.00000035 | 0.02000567 | 0.02 |

表 8.1-33 施設の稼働及びごみ収集車両等の走行に伴い発生する
浮遊粒子状物質の評価結果

単位：mg/m³

| 予測地点 | | 予測濃度 | | 環境基準 |
|------|----------|----------------------|----------------|----------------------------|
| | | 年平均値 | 日平均値の 2%除外値 | |
| 1 | 江戸川小学校前 | 0.020 (寄与率 0.02%) | 0.050 | 日平均値の 2%除外値が 0.10 以下 |
| 2 | そよかぜひろば前 | 0.020 (寄与率 0.01%) | 0.050 | |
| 3 | 下鎌田東小学校前 | 0.020 (寄与率 0.01%) | 0.050 | |
| 4 | 篠崎街道 | 0.020 (寄与率 0.01%) | 0.050 | |
| 5 | 柴又街道 | 0.020 (寄与率 0.02%) | 0.050 | |

注) 年平均値は、予測結果（表 8.1-32）において、道路端の高い方の濃度を小数第四位で四捨五入したものである。

浮遊粒子状物質のバックグラウンド濃度：0.020 (mg/m³)

(4) 二酸化窒素

施設の稼働及びごみ収集車両等の走行に伴い発生する二酸化窒素の大気中における濃度の重合結果及び評価の結果は表 8.1-34及び表 8.1-35に示すとおりである。

二酸化窒素の予測濃度は、0.018209～0.018787ppmであり、予測濃度に対する寄与率は0.08～0.85%である。

また、予測濃度の日平均の年間98%値は0.039～0.041ppmであり、評価の指標とした環境基準を下回る。

表 8.1-34 施設の稼働及びごみ収集車両等の走行に伴い発生する
二酸化窒素の重合予測結果

単位：ppm

| 予測地点 | | バックグラウンド 濃度 A | 将来一般 交通量による 寄与濃度 B | 施設の稼働 による 寄与濃度 C | ごみ収集 車両等による 寄与濃度 D | 予測濃度 A+B+C+D | 寄与率 (C+D) / (A+B+C+D) ×100 | |
|------|--------------|---------------------|-----------------------------|---------------------------|-----------------------------|-----------------|-------------------------------------|------|
| 1 | 江戸川小 学校前 | 0.018 | 入車方向 | 0.000407 | 0.000004 | 0.000113 | 0.018524 | 0.63 |
| | | | 出車方向 | 0.000494 | 0.000004 | 0.000131 | 0.018629 | 0.72 |
| 2 | そよかぜ ひろば前 | | 入車方向 | 0.000565 | 0.000003 | 0.000154 | 0.018722 | 0.84 |
| | | | 出車方向 | 0.000513 | 0.000003 | 0.000155 | 0.018671 | 0.85 |
| 3 | 下鎌田東 小学校前 | | 入車方向 | 0.000230 | 0.000002 | 0.000063 | 0.018295 | 0.36 |
| | | | 出車方向 | 0.000278 | 0.000002 | 0.000084 | 0.018364 | 0.47 |
| 4 | 篠崎街道 | | 入車方向 | 0.000749 | 0.000004 | 0.000011 | 0.018764 | 0.08 |
| | | | 出車方向 | 0.000772 | 0.000004 | 0.000011 | 0.018787 | 0.08 |
| 5 | 柴又街道 | | 入車方向 | 0.000174 | 0.000008 | 0.000027 | 0.018209 | 0.19 |
| | | | 出車方向 | 0.000204 | 0.000008 | 0.000035 | 0.018247 | 0.24 |

表 8.1-35 施設の稼働及びごみ収集車両等の走行に伴い発生する
二酸化窒素の評価結果

単位：ppm

| 予測地点 | | 予測濃度 | | 環境基準 |
|------|----------|----------------------|-------------------|---|
| | | 年平均値 | 日平均値の 年間 98% 値 | |
| 1 | 江戸川小学校前 | 0.019 (寄与率 0.72%) | 0.041 | 日平均値の 年間 98% 値が 0.04 から 0.06 までのゾーン内 又はそれ以下 |
| 2 | そよかぜひろば前 | 0.019 (寄与率 0.84%) | 0.041 | |
| 3 | 下鎌田東小学校前 | 0.018 (寄与率 0.47%) | 0.039 | |
| 4 | 篠崎街道 | 0.019 (寄与率 0.08%) | 0.041 | |
| 5 | 柴又街道 | 0.018 (寄与率 0.24%) | 0.039 | |

注) 年平均値は、予測結果(表 8.1-34)において、道路端の高い方の濃度を小数第四位で四捨五入したものである。

二酸化窒素のバックグラウンド濃度：0.018 (ppm)

